

ЛИНЕЙНЫЙ АНАЛИЗ СТАЦИОНАРНОГО РАЗДЕЛЕНИЯ МАТЕРИАЛЬНОГО СЛОЯ

© 2003 В. В. Глаголев

Тульский государственный университет

На основе термомеханического анализа построены характеристики стационарного процесса направленного разделения, получена их взаимосвязь с известными критериями разрушения.

Рассматривается установившееся разделение сплошной среды при симметричном внешнем воздействии относительно плоскости разделения $x_2 = \text{const}$. Выделяется слой взаимодействия толщиной δ_0 [1], образуемый материалом, переходящим в стадию разупрочнения, где напряженно-деформируемое состояние полагается однородным в направлении нормали к плоскости разделения. В данной области компонент тензора напряжений Коши σ_{22} определяется из условия

$$\frac{\partial \sigma_{22}}{\partial x_2} \equiv 0 \text{ и, как следствие, } \sigma_{22} = \sigma_{22}(x_1)$$

относительно декартовой прямоугольной системы координат, ось OX_1 , которой совпадает с направлением разделения. Из уравнений равновесия при плоской деформации слоя

взаимодействия следует $\frac{\partial^2 \sigma_{11}}{\partial x_1^2} = \frac{\partial^2 \sigma_{22}}{\partial x_2^2} = 0$.

Таким образом, $\sigma_{11} = C_1 x_1 + C_0$, где C_0, C_1 - постоянные, x_i ($i = 1, 2$) - пространственные координаты. С учетом отсутствия напряжений на бесконечности и в точке образования новых поверхностей имеем $\sigma_{11} \equiv 0$.

Для материала, ограниченного в произвольный момент разделения замкнутым контуром $R''M''S''N''T''Z''K''K'Z'T'N'S'M'R'$ (рис. 1), запишем основное термодинамическое соотношение [2], которое примет следующий вид:

$$\int_{\Sigma(0)} (\dot{\psi} + \eta \dot{T} + \dot{w}) \rho_0 d\Sigma_0 = \int_{\ell(0)} \vec{q}_0 \cdot \vec{v} d\ell_0, \quad (1)$$

где ψ - скорость удельной (отнесенной к массе) свободной энергии; η - удельная энтропия; \dot{T} - скорость изменения температуры; w - скорость удельной диссипации; \vec{q}_0 - вектор напряжения, отнесенный к начальной площади; $d\ell_0$ - элементарная длина граничного контура в недеформированном состоянии; $d\Sigma_0$ - элементарная площадь материальной плоскости в недеформированном состоянии.

Полагая процесс изотермическим, соотношение (1) приводим к виду

$$\int_{\Sigma(0)} (\dot{\psi} + \dot{w}) \rho_0 d\Sigma_0 = \int_{\ell(0)} \vec{q}_0 \cdot \vec{v} d\ell_0. \quad (2)$$

Выделим области с площадью $\Sigma_{(w)}$, где имеется диссипация, и область $\Sigma_{(y)} = \Sigma_{(0)} - \Sigma_{(w)}$, где диссипация отсутствует. Для последней термодинамическое соотношение примет вид

$$\int_{\Sigma(y)} \psi \rho_0 d\Sigma_0 - \int_{\ell(y)} \vec{q}_0 \cdot \vec{v} d\ell_0 = 0, \quad (3)$$

где ℓ_y - контур, ограничивающий область с $w = 0$.

Дальнейшее рассмотрение будем относить к декартовой прямоугольной системе координат $X'_1 X'_2 X'_3$ (рис. 1), движущейся с постоянной скоростью a в направлении раз-

деления, совпадающем с осью Ox_1' . Так как распределение свободной энергии в области $\Sigma_{(y)}$ непрерывно и непрерывна производная $\frac{\partial \psi}{\partial x_1'}$, то левую часть (3) преобразуем, выразив

$$\text{жая } \vec{v}(\vec{x}') = -a \frac{\partial \vec{u}}{\partial x_1'} \text{ и } \frac{d\psi(\vec{x}')}{dt} = -a \frac{\partial \psi}{\partial x_1'} [3],$$

с использованием теоремы Остроградского-Гaussa:

$$\oint_{\ell_{(y)}} \left(-\rho_0 n_1^{(0)} \psi + \vec{q}_0 \cdot \frac{\partial \vec{u}}{\partial x_1'} \right) d\ell_0 = 0, \quad (4)$$

где $n_1^{(0)}$ – проекция внешней нормали к контуру на направление разделения.

Представим левую часть (4) в соответствии с распределением областей диссипации, показанным на рис. 1. Будем считать, что область диссипации охватывает как часть слоя взаимодействия (область $S''K''K'S'$), так и сплошную среду вне его (области $Z'T'N'S'$ и $Z''T''N''S''$).

Перемещение окрестности срединной поверхности слоя взаимодействия представим в виде

$$\vec{u}(x_1', x_2') = u_1(x_1') \vec{e}_1 + u_2(x_1', \Delta x_2') \vec{e}_2, \quad (5)$$

$$\text{где } u_2(x_1', \Delta x_2') = \frac{\partial u_2(x_1', x_2')}{\partial x_2'} \Delta x_2 + o(\Delta x_2') =$$

$= f(x_1') \Delta x_2' + o(\Delta x_2')$, $x_{i,i=1,2}'$ – координаты начального состояния.

Поведение материала слоя взаимодействия рассматривается как на стадии устойчивого, так и неустойчивого в смысле Дракера деформирования. Начало стадии разупрочнения определяется достижением максимальным главным значением линейного тензора деформаций критического значения. Связь между главными значениями тензоров истинных напряжений σ и деформаций ε на стадии разупрочнения представим в следующем виде [3]:

$$\begin{aligned} \varepsilon'_1 &= \frac{1}{E_h} (\sigma'_1 - v_h (\sigma'_2 + \sigma'_3)) \\ \varepsilon'_2 &= \frac{1}{E_h} (\sigma'_2 - v_h (\sigma'_1 + \sigma'_3)) \\ \varepsilon'_3 &= \frac{1}{E_h} (\sigma'_3 - v_h (\sigma'_2 + \sigma'_1)). \end{aligned} \quad (6)$$

Штрихованные компоненты из (6) связаны с текущими главными значениями формулами:

$$\sigma'_i = -\sigma_i + \sigma_i^{(k)}; \quad \varepsilon'_i = \varepsilon_i - \varepsilon_i^{(k)}, \quad (7)$$

$$\text{где } E_h = \sigma_i^{(k)} / (\varepsilon_i^{(m)} - \varepsilon_i^{(k)}), \quad v_h = \left| \frac{\varepsilon'_j}{\varepsilon'_i} \right| \quad i \neq j;$$

ε_i – главное значение деформации тензора Генки; $\varepsilon_i^{(k)}$ – деформация, характеризующая начало неустойчивого по Дракеру деформирования; $\sigma_i^{(k)}$ – соответствующее ему напряжение; $\varepsilon_i^{(m)}$ – деформация, соответствующая образованию новых поверхностей.

Располагая точки R' и R'' так, что внешняя нагрузка на отрезках берегов $R'M'$ и $R''M''$ отсутствует, получим следующие условия на границе области:

$$\begin{aligned} n_1^{(0)} &= 0; \quad \bar{q}_0 = 0, \text{ при } x_1' \in R'M' \text{ и } R''M'', \\ n_1^{(0)} &= 0; \quad \bar{q}_0 = \sigma \cdot \vec{e}_2 = \sigma_2 \vec{e}_2, \text{ при } x_1' \in M''S'', \\ n_1^{(0)} &= 0; \quad \bar{q}_0 = \sigma \cdot (-\vec{e}_2) = -\sigma_2 \vec{e}_2, \text{ при } x_1' \in S'M', \\ n_1^{(0)} &= n_1; \quad \bar{q}_0 = \bar{q}, \text{ при } \ell_s \in S''N''T''Z''K''K'Z'T'N'S'. \end{aligned} \quad (8)$$

Интегрируя левую часть (4) по контуру $R'R''K''K'$, охватывающему область обратимого деформирования, с учетом (8) получим

$$J^{(i)} + 2 \int_0^b \sigma_2 \frac{\partial u_2}{\partial x_1'} dx_1' + I_1 = \oint_{\ell_{(y)}} \left(\rho_0 n_1^{(0)} \psi - \vec{q}_0 \cdot \frac{\partial \vec{u}}{\partial x_1'} \right) d\ell_0 = 0, \quad (9)$$

$$\text{где } J^{(i)} = \int_{R' \cup R''} \left(\rho_0 n_1^{(0)} \psi - \vec{q}_0 \cdot \frac{\partial \vec{u}}{\partial x_1'} \right) d\ell_0 -$$

внутренний инвариантный интеграл, определяемый интегрированием по произвольному контуру с началом в точке R' отрезка $A'M'$ и окончанием в точке R'' отрезка $A''M''$;

$$I_1 = \int_{\ell_s} \left(\rho_0 n_1^{(0)} \psi - \bar{q}_0 \cdot \frac{\partial \bar{u}}{\partial x'_1} \right) d\ell_0, \text{ где } \ell_s - \text{ контур, охватывающий область с диссипацией.}$$

Вычислим первый интеграл в левой части (9). Для части слоя $0 \leq x'_1 \leq b$, заполненной разупрочняющимся материалом, поле перемещений в силу однородности ε_2 по x'_2 внутри слоя взаимодействия имеет вид

$$u_2 = \varepsilon_2(x'_1)x'_2, \quad (10)$$

а определяющие соотношения (7) при плоской деформации -

$$\sigma_2 = E(\varepsilon_2^m - \varepsilon_2), \quad \varepsilon_2^k \leq \varepsilon_2 \leq \varepsilon_2^m, \quad (11)$$

$$\text{где } E = \frac{E_H}{1 - \nu_H^2}.$$

Из (11) найдем

$$\frac{\partial \sigma_2}{\partial x'_1} = -E \frac{\partial \varepsilon_2}{\partial x'_1}. \quad (12)$$

Из (10), (11) и (12) получим

$$\begin{aligned} A_p &= -2 \int_0^b \sigma_2 \frac{\partial u_2}{\partial x'_1} dx'_1 = -2 \int_0^b \sigma_2 \frac{\partial u_2}{\partial x'_1} \Big|_{x'_2=\frac{\delta_0}{2}} dx'_1 = \\ &= -2 \left(\int_0^b \frac{\partial(\sigma_2 u_2)}{\partial x'_1} dx'_1 - \int_0^b u_2 \frac{\partial \sigma_2}{\partial x'_1} dx'_1 \right) = -2 \sigma_2^k u_k - \\ &- \int_0^b \varepsilon_2 \frac{\delta_0}{2} E \frac{\partial \varepsilon_2}{\partial x'_1} dx'_1 = -\sigma_2^k \delta_0 \varepsilon_2^k + \frac{\delta_0}{2} \sigma_2^k (\varepsilon_2^m + \varepsilon_2^k) = \\ &= \frac{\delta_0}{2} \sigma_2^k (\varepsilon_2^m - \varepsilon_2^k). \end{aligned} \quad (13)$$

Отметим, что A_p – величина положительная, $\lim A_p \Big|_{(u_m - u_k) \rightarrow 0} = 0$ и соответствует работе напряжений в зоне неустойчивого деформирования слоя взаимодействия.

Для определения значения интеграла I_1 рассмотрим замкнутую область, где имеется

диссипация $S''N''T''Z''K''K'Z'T'N'S'$ (рис. 1), и запишем для нее основное термодинамическое соотношение (2), полагая, что величина диссипации не зависит от скорости деформирования. Так как распределение свободной энергии и диссипации в области непрерывно и непрерывны производные

$\frac{\partial \psi}{\partial x'_1}, \frac{\partial w}{\partial x'_1}$, то, преобразуя (2) для рассматриваемой области с использованием теоремы Остроградского-Гаусса, получим

$$\int_{\ell_{(n)}} \left(\rho_0 n_1^{(0)} (\psi + w) - \bar{q}_0 \cdot \frac{\partial \bar{u}}{\partial x'_1} \right) d\ell = 0, \quad (14)$$

где $\ell_{(n)}$ - контур, ограничивающий область

$S''N''T''Z''K''K'Z'T'N'S'$ с $w > 0$. На границе области имеем

$$\begin{aligned} n_1^{(0)} &= -n_1; \bar{q}_0 = -\bar{q}, \text{ при } \ell_s \in S''N''T''Z''K''K'Z'T'N'S', \\ n_1^{(0)} &= -l; \bar{q}_0 = \sigma_1 \bar{e}_1 = 0, \psi = \psi_k, w = w_k \text{ при } -\frac{\delta_0}{2} \leq x'_2 \leq \frac{\delta_0}{2}, x'_1 = b. \end{aligned} \quad (15)$$

Из (14) с учетом (15) получаем

$$I_1 = -\rho_0 \delta_0 \psi_k - D = 0, \quad (16)$$

$$\text{где } D = \int_{\ell_s} \rho_0 n_1^{(0)} w d\ell + \rho_0 \delta_0 w_k, \quad \psi_k = \psi(\varepsilon_k)$$

и $w_k = w(\varepsilon_k)$ – значения плотности свободной энергии и диссипации в точках $x'_1 = b$ слоя взаимодействия.

Подставляя (16), (13) в (9), приходим к следующему представлению $J^{(i)}$ – интеграла:

$$J^{(i)} = \rho_0 \cdot \delta_0 \cdot \psi_k + D + A_p. \quad (17)$$

Таким образом, определена инвариантная характеристика процесса через упругую энергию, диссипацию и слагаемое, отвечающее за разупрочнение материала.

Для определения понятия поверхности энергии выделим, согласно рис. 1, разупрочняющийся материал, ограниченный контуром $M''S''S'M'$, и запишем для него термо-механическое соотношение

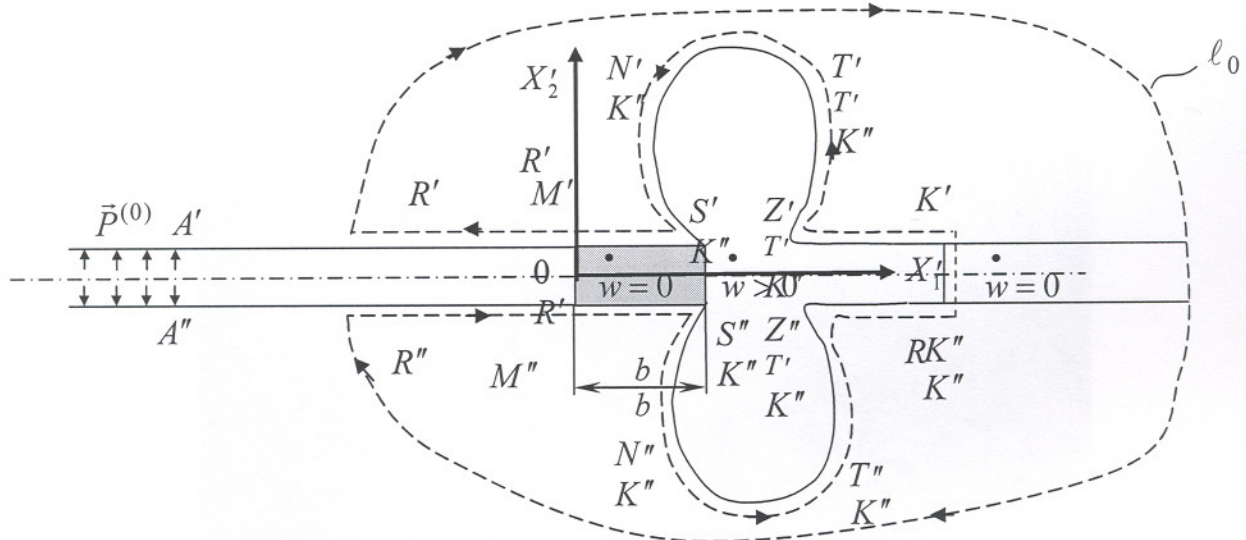


Рис. 1. Схема зон диссипации при стационарном разделении

$$\psi_b = - \int \vec{q}_0 \cdot \vec{v} d\ell_0, \quad (18)$$

где ψ_b - свободная энергия разупрочняющегося материала.

Контурный интеграл представим в виде

$$- \int \vec{q}_0 \cdot \vec{v} d\ell_0 = a \int \vec{q}_0 \cdot \frac{\partial \vec{u}}{\partial x'_1} d\ell_0. \quad (19)$$

Представим скорость свободной энергии разупрочняющегося материала в следующем виде:

$$\dot{\psi}_b = \frac{d\psi_b}{dt} = aA_p. \quad (20)$$

Рассмотрим структуру изменения свободной энергии разупрочняющегося материала с учетом прекращения взаимодействия в момент $t + \Delta t$ между границами слоя взаимодействия на отрезке $a \cdot \Delta t$. Положим, что часть свободной энергии, распределенной в момент $t + \Delta t$ на отрезке $a \cdot \Delta t$, полностью переходит в поверхностную энергию, аккумулируемую в приповерхностных микрослоях поверхности разделения. Тогда в момент $t + \Delta t$ энергия разупрочняющегося участка будет состоять из поверхностной энергии, распределенной по поверхностным слоям $a \cdot \Delta t$, и энергии разупрочняющегося материала на длине $b - a \cdot \Delta t$:

$$\begin{aligned} \psi_b(t + \Delta t) &= \delta_0 \int_0^b \psi(t + \Delta t, x'_1) \rho_0 dx'_1 = \delta_0 \int_0^{a\Delta t} \psi(t + \Delta t, x'_1) \rho_0 dx'_1 + \\ &+ \delta_0 \int_{a\Delta t}^b \psi(t + \Delta t, x'_1) \rho_0 dx'_1 = 2\gamma a \cdot \Delta t + \delta_0 \int_{a\Delta t}^b \psi(t + \Delta t, x'_1) \rho_0 dx'_1. \end{aligned} \quad (21)$$

Первое слагаемое в правой части (21) отождествляем с удельной поверхностной энергией γ , отнесенной к единице образуемой площади. В силу стационарности процесса для второго слагаемого в правой части (21) должно выполняться условие

$$\frac{b}{a \cdot \Delta t} \int \psi(t + \Delta t, x'_1) \rho_0 dx'_1 = \frac{b - a \cdot \Delta t}{0} \int \psi(t, x'_1) \rho_0 dx'_1. \quad (22)$$

Используя (21), (22), находим изменение свободной энергии за время Δt для разупрочняющегося материала:

$$\begin{aligned} \Delta \psi_b &= \psi_b(t + \Delta t) - \psi_b(t) = a \cdot \Delta t \cdot 2\gamma + \int_0^{b-a\Delta t} \psi(t, x'_1) \rho_0 dx'_1 - \\ &- \int_0^b \psi(t, x'_1) \rho_0 dx'_1 = a \cdot \Delta t \cdot 2\gamma + \delta_0 \cdot \int_b^{b-a\Delta t} \psi(t, x'_1) \rho_0 dx'_1. \end{aligned} \quad (23)$$

Из (23) с учетом $\psi_k = \psi(t, b)$ следует, что скорость свободной энергии разупрочняющегося материала связана с поверхностной энергией следующим выражением:

$$\lim_{\Delta t \rightarrow 0} \frac{\Delta \psi_b}{\Delta t} = \frac{d\psi_b}{dt} = a(2\gamma - \delta_0 \rho_0 \psi_k). \quad (24)$$

Из (24) и (20) следует определение поверхностной энергии:

$$\gamma = \frac{\delta_0}{2} \rho_0 \cdot \psi_k + \frac{A_p}{2}. \quad (25)$$

Отметим, что полученное определение поверхностной энергии (25) универсально в том смысле, что оно не зависит от распределения областей обратимого и необратимого деформирования вне слоя взаимодействия. Первое слагаемое в правой части (25) определяет критическую энергию обратимых деформаций на единицу длины - $\rho_0 \cdot \psi_k$, второе - работу на стадии неустойчивого деформирования A_p .

С учетом (25) интеграл (17) можно представить через свободную энергию в виде

$$J^{(i)} = 2\gamma + D. \quad (26)$$

В случае хрупких и квазихрупких материалов энергия образования новых поверхностей для плоской деформации определяется по формуле [4]

$$2\gamma = (1-\nu^2) \frac{K_c^2}{E}, \quad (27)$$

где K_c - универсальная постоянная материала – вязкость разрушения.

Несмотря на то, что формула (27) строго справедлива лишь для материалов упруго-деформируемых вплоть до разрушения, ее используют для квазихрупких материалов в соответствии с концепцией Ирвина-Орована [6, 7]. На основании такого подхода из сравнения (27) и (25) получим

$$(1-\nu^2) \frac{K_c^2}{E} = \delta_0 \rho_0 \cdot \psi_k + A_p. \quad (28)$$

Из выражения (28) можно оценить толщину слоя взаимодействия на основании полной диаграммы деформирования и, зная распределение энергии диссипации, вычислить

J -интеграл по (26). Основываясь на результатах работы [8], приведем параметры полной диаграммы деформирования для сталей: σ_k - истинное напряжение начала разупрочнения, E - модуль Юнга, ψ_c - относительное сужение, ε_k - соответствующая σ_k деформация, K_w - коэффициент трещиностойкости пластичных материалов [9] как отношение работы на стадии разупрочнения A_p к запасенной упругой энергии $\delta_0 \rho_0 \psi_k$.

Для удельной энергии упругой деформации начала неустойчивого деформирования

$$\delta_0 \cdot \rho_0 \cdot \psi_k = 0.5 \sigma_k \varepsilon_y \delta_0 = \frac{\sigma_k^2 (1-\psi_c) \delta_0}{2E} = \frac{A_p}{K_w}. \quad (29)$$

Из (28) и (29) получаем следующую оценку толщины слоя взаимодействия:

$$\delta_0 = (1-\nu^2) \frac{2K_c^2}{(1+K_w)(1-\psi_c)\sigma_k^2}. \quad (30)$$

В частности, для стали Ст.3, следя [7], имеем: $\sigma_k = 900 \text{ MPa}$, $K_c = 80.9 \text{ MPa}\sqrt{m}$, $K_w = 20$, $\psi_c = 0.655$, что приводит к следующему значению толщины слоя: $\delta_0 = 2 \cdot 10^{-3} \text{ м}$.

Значение J -интеграла (26) зависит от характеристик материала, конфигурации области диссипации и закона ее распределения.

В случае идеально хрупкого разрушения (без рассмотрения пластических свойств и разупрочнения) из (26) получаем известное выражение для критического значения

$$J\text{-интеграла [4-7]}: J^{(i)} = 2\gamma = (1-\nu^2) \frac{K_c^2}{E}.$$

Рассматривая диссипацию в границах слоя взаимодействия, из (17) для случая идеально пластического [10], несжимаемого материала с учетом $\sigma_{11} \equiv 0$ получим

$$J^{(i)} = \delta_0 \sigma_k \varepsilon_k + A_p. \quad (31)$$

Полагая ниспадающую ветвь вертикальной, из (31) получим известное выражение J -интеграла для δ_k -модели [5]:

$$J^{(i)} = \delta_k \sigma_k,$$

где $\delta_k = \varepsilon_k \delta_0$ - критическое смещение границ слоя взаимодействия, $\sigma_2 = \sigma_k = const$ - предел текучести.

Таким образом, полученные результаты, основанные на гипотезе локализации разрушения в слое с однородным напряженно-деформируемым состоянием, не противоречат классическим результатам механики упругопластического разрушения при замене участка разупрочнения вертикальной ветвью.

Величина диссипации D , входящая в выражение (17), может зависеть как от формы тела, так и от характера распределения внешней нагрузки. Следовательно, $J^{(i)}$ - интеграл, определенный по (17), в общем случае не может быть универсальным критерием упругопластического разрушения.

Работа выполнена при поддержке гранта РФФИ № 01-01-96011.

Список литературы

1. Маркин А. А., Глаголев В. В. Моделирование процесса разделения материала// Проблемы механики неупругих деформаций:

Сборник статей. К семидесятилетию Д. Д. Ивлева. М.: ФИЗМАТЛИТ, 2001. С. 190-198.

2. Ильюшин А. А. Механика сплошной среды. М.: Издательство МГУ, 1990. – 310 с.

3. Глаголев В. В., Маркин А. А. Исследование установившегося разделения материального слоя//Известия Тульского государственного университета. Серия Математика. Механика. Информатика. Том 7. Выпуск 2. 2001. С. 56-64.

4. Черепанов Г. П. Механика хрупкого разрушения. М.: Наука, 1974. - 640 с.

5. Парトン В. З., Морозов Е. М. Механика упругопластического разрушения. М.: Наука, 1985. - 504 с.

6. Морозов Н. Ф. Математические вопросы теории трещин. М.: Наука, 1984. - 256 с.

7. Панасюк В. В. Механика квазихрупкого разрушения материалов. Киев: Наук. думка, 1991. - 416 с.

8. Лебедев А. А., Чausov Н. Г. Феноменологические основы оценки трещиностойкости материалов по параметрам спадающих участков диаграмм деформаций//Пробл. прочности. 1983. № 2. С. 6-10.

9. Лебедев А. А., Чausov Н. Г. К оценке трещиностойкости пластичных материалов. //Пробл. прочности. 1982. № 2. С. 11-13.

10. Ивлев Д. Д. Теория идеальной пластичности. М.: Наука, 1966.- 231с.

LINEAR ANALYSIS OF MATERIAL LAYER STATIONARY SEPARATION

© 2003 V. V. Glagolev

Tula State University

Characteristics of a stationary process of directional separation have been constructed on the basis of thermomechanical analysis, their interrelation with the known destruction criteria has been established.